

07; 12

## ЭКСПЕРИМЕНТАЛЬНОЕ ИССЛЕДОВАНИЕ ФОРМООБРАЗОВАНИЯ ОТРАЖАЮЩЕЙ ПОВЕРХНОСТИ АДАПТИВНОГО ЗЕРКАЛА

В.В. А поллонов, Е.А. Иванова,  
А.М. Прохоров, С.А. Четкин

В адаптивной оптике одной из основных является проблема синтеза формы зеркальной поверхности методом контролируемого упругого деформирования подложки в ограниченном числе точек [1]. Для решения задачи формирования с требуемой точностью  $\epsilon$  заданного рельефа отражающей поверхности необходимо знание вида функций отклика ( $\Phi$ ) поверхности гибкого адаптивного зеркала ( $A_3$ ) на действие каждого актиоатора с неменьшей чем  $\epsilon$  точностью. (Под  $\Phi$  в данной работе понимается рельеф отражающей поверхности, формируемый при подаче только на один из системы актиоаторов  $A_3$  управляющего сигнала). Знание  $\Phi$  отражающей поверхности  $A_3$  позволяет описывать любую формируемую  $A_3$  форму отражающей поверхности в виде их суперпозиции.

$A_3$  выполняется на подложке в виде пластины, закрепленной каким-либо образом по периметру и опертой на актиоаторы, представляющие упругие опоры. С точки зрения общности постановки задачи и эффективности деформирования зеркальной подложки естественно допущение о соизмеримости жесткости отдельного актиоатора и цилиндрической жесткости подложки. В этом случае между актиоаторами существует упругая связь через гибкую подложку  $A_3$ , т.е. в формировании  $\Phi$  участвуют упругие силы реакции от всей системы актиоаторов  $A_3$ . Такая особенность в формировании  $\Phi$  определяется нами как нелокальная.

Таким образом, вид  $\Phi$  гибкого  $A_3$  определяется жесткостями действующего актиоатора, подложки, системы актиоаторов, находящихся в свободном состоянии (для актиоаторов, выполненных из электро- или магнитострикционного материала, их жесткость, в силу  $4E$ -эффекта [2], определяется уровнем поляризации материала, т.е. в том числе и величиной управляющего сигнала), числом и взаимным расположением актиоаторов. С учетом сформулированных особенностей задача определения вида  $\Phi$  гибкого  $A_3$  не имеет удовлетворяющего требования адаптивной оптики решения.

В настоящей работе, продолжающей [3], развит полуэмпирический подход к анализу формообразования отражающей поверхности многоактиоаторного гибкого  $A_3$ . Исследование  $\Phi$  отражающей поверхности  $A_3$  проводилось с использованием стробоскопического интерферометра [3]. Методика обработки интерферограмм позволяла осуществлять восстановление формы зеркальной поверхности в заданном сечении с точностью  $\lambda/20$  ( $\lambda = 0.63$  мкм).

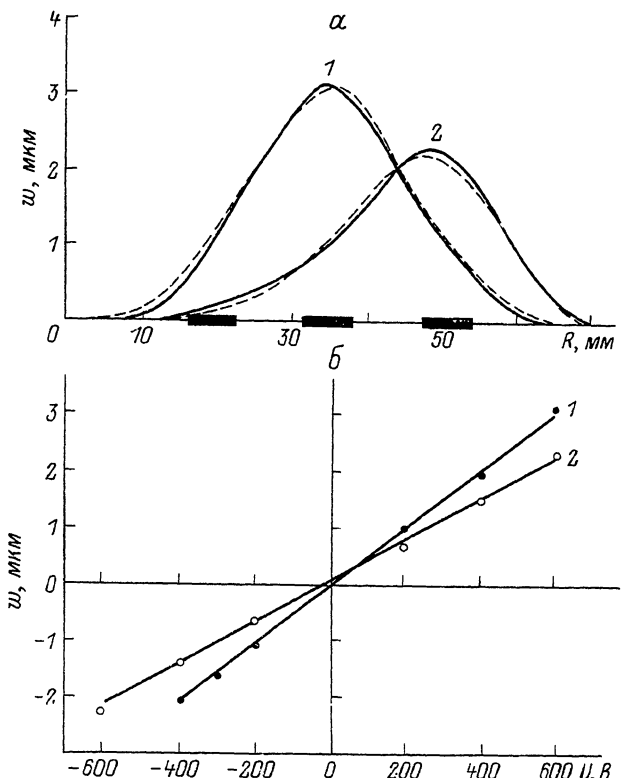


Рис. 1. а) Функции отклика адаптивного зеркала на действие бокового (2) и центрального (1) актиоаторов. Пунктиром показаны функции отклика, рассчитанные в рамках модели тонкой пластины. б) Зависимость размаха смещения зеркальной поверхности от величины приложенного к актиоатору напряжения в случае действия центрального (1) и бокового (2) актиоатора.

В теории деформируемого АЗ вопрос воспроизведимости формы ФО отражающей поверхности при различных уровнях прогиба подложки является принципиальным. Для исследуемого АЗ определение стабильности и точности формообразования зеркальной поверхности, подложка которой выполнена не из традиционных для оптики стекла, кварца, ситалла, обладающих свойствами стабильности формы в нагруженном состоянии, а из металла, проявляющего пластические свойства, представляет также практический интерес.

Результаты проведенных исследований показывают, что при различных уровнях развивающегося актиоатором смещения нормированная на максимум ФО списывается для каждого актиоатора универсальной поверхностью с абсолютной точностью не хуже 0.06 мкм (рис. 1, а). Подложка АЗ заделана по периметру и соединена с системой актиоаторов в конечном числе точек, поэтому ФО должна описываться суперпозицией аналитических выражений, каждое из которых есть решение уравнения тонкой пластины для точечной силы,

приложенной в месте расположения отдельного актиоатора, с соответствующими заделке периметра подложки граничными условиями [4]:

$$\omega = \omega_0 \left[ (1-r^2)(1-\rho^2) + (r^2+\rho^2 - 2r\rho \cos(\varphi - \alpha)) \times \right. \\ \left. \times \ln \left\{ (r^2+\rho^2 - 2r\rho \cos(\varphi - \alpha)) / (1+r^2+\rho^2 - 2r\rho \cos(\varphi - \alpha)) \right\} \right], \quad (1)$$

где  $\omega$  – прогиб пластины в точке  $r, \varphi; \rho, \alpha$  – нормированные на радиус подложки координаты приложения сосредоточенной силы;  $\omega_0 = PR^2/16\pi D$ ;  $D = Eh^3/12(1-\nu^2)$  – цилиндрическая жесткость подложки;  $h$  – ее толщина,  $E, \nu$  – модуль Юнга и коэффициент Пуассона материала подложки;  $P$  – величина развиваемой актиоатором силы.

Из-за неполной контролируемости условий изготовления и закрепления актиоаторов в АЗ, они имеют различные жесткости, величины которых из интерференционных измерений установить не представляется возможным. Поэтому, вклад каждого актиоатора при формировании ФО определялся нами методом наименьших квадратов ошибок рассогласования экспериментально установленной ФО и суперпозиции аналитических выражений (1), описывающих вид ФО.

Сравнение экспериментальных и расчетных ФО (рис. 1, а) показывает, что теория тонкой пластины, с учетом допущения точечного характера действия актиоатора, является хорошим приближением и может служить основой для развития теории АЗ такого типа.

Интересно отметить, что в пределах экспериментальной погрешности ( $\lambda/20$ ,  $\lambda = 0.63$  мкм) имеет место отмечавшийся ранее [3] принцип аддитивности, а именно – форма отражающей поверхности АЗ при совместном действии нескольких актиоаторов является точной арифметической суммой ФО АЗ каждого действующего актиоатора.

Зависимость между величиной максимума ФО и величиной постоянного напряжения, приложенного к актиоатору, при условии, что для каждого измерения постоянное напряжение прикладывалось после деполяризации актиоатора переменным напряжением убывающей амплитуды, приведена на рис. 1, б. Эта связь линейна, хотя материал актиоатора ПКР-6 [3], имеет гистерезис пьезомеханических свойств.

Таким образом, экспериментальное исследование показало, что ФО АЗ  $\Phi(x, y)$  при снятии остаточной (коэрцитивной) поляризации, обусловленной гистерезисом, описывается выражением

$$\Phi(x, y) = K_i U_i f_i(x, y), \quad (2)$$

где  $U_i$  – величина приложенного к актиоатору напряжения,  $i$  – номер актиоатора;  $K_i$  – коэффициент пропорциональности, характеризующий механическую и пьезоэлектрическую жесткости актиоатора;  $f_i(x, y)$  – нормированные по максимуму ФО, характерные для данного АЗ, описываемые с точностью не хуже 3% выражением

$$f_i(x, y) = \sum_{j=1}^N \alpha_{ij}(U_i) \varphi_j(x, y, \vec{r}), \quad (3)$$

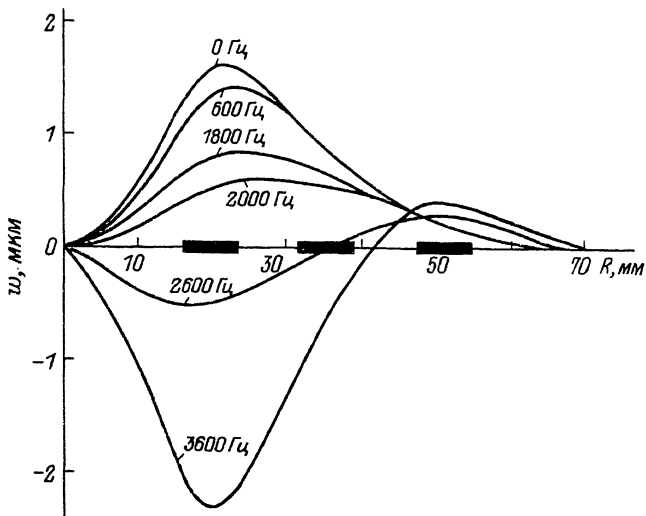


Рис. 2. Функции отклика аддитивного зеркала при возбуждении бокового актиоатора синусоидальным сигналом амплитудой 400 В на частоте от 0 до 3 кГц.

где  $\psi_j(x, y, \vec{r})$  – решения уравнения тонкой пластины с граничными условиями, соответствующими конструкции АЗ, деформируемого точечной силой, приложенной в точке расположения  $j$ -го актиоатора (1), а константы  $\alpha_{ij}$  характеризуют пьезомеханическую связь  $i$ -го и  $j$ -го актиоатора.

При приложении к актиоатору постоянного напряжения ФО определяется действующими на подложку АЗ силами упругости. При возбуждении актиоатора переменным напряжением в общем случае необходимо учитывать силы инерции, так как подложка и актиоатор имеют конечные массы.

На рис. 2 приведено семейство нормированных ФО АЗ при возбуждении бокового актиоатора на частотах от 0 до 3 кГц напряжением амплитудой 400 В. АЗ имеет первый резонанс на частоте 6.5 кГц [3], однако из полученных данных следует, что в общем балансе сил роль инерции существенна, начиная с частот порядка 100 Гц. В диапазоне частот от 100 Гц до 2.4 кГц действие сил инерции сводится к тому, что ФО становятся более пологими с одновременным уменьшением величины максимума. На частотах, превышающих 2.4 кГц, ФО подобна второй моде колебаний пластины с заделанным краем, хотя измеренная добротность АЗ на резонансной частоте составляет  $\approx 30$  [3].

Таким образом, нами экспериментально установлены характерные особенности формирования рельефа отражающей поверхности АЗ в статическом и динамическом режимах. Показано, что в диапазоне

частот сигналов до 100 гц, управляющих работой данного АЗ, формируемая системой актиоаторов форма отражающей поверхности, а значит и ФО с высокой степенью точности может быть описана статическим уравнением тонкой пластины. Результаты экспериментального исследования ФО показали, что диапазон частот в котором АЗ может осуществлять компенсацию фазовых искажений оптического излучения, ограничивается не частотой 1-го электрического или магнито-механического резонанса АЗ, а частотой, начиная с которой вид "динамической" ФО начинает существенно отличаться от статической, как правило, более, чем на порядок меньшей резонансной частоты.

В заключение авторы считают приятным долгом выразить благодарность В.И. Андрюшину, Г.А. Житомирскому и В.В. Останину, С.Н. Темнову за помощь в проведении данной работы.

#### Л и т е р а т у р а

- [1] Харди Дж. // ТИИЭР. 1978. Т. 66. № 6. С. 31-85.
- [2] Физическая акустика. Под ред. Мэзона. М., 1966. Т. 1. 592 с.
- [3] Аполлонов В.В., Темнов С.Н., Четкин С.А. Препринт ИОФАН СССР, № 231. М., 1987. 26 с.
- [4] Лурье А.И. // Прикладная математика и механика. 1940. Т. 4. В. 1. С. 93-101.

Институт общей физики  
АН СССР, Москва

Поступило в Редакцию  
10 ноября 1988 г.

Письма в ЖТФ, том 15, вып. 2

26 января 1989 г.

01; 05.1

#### ОЦЕНКА ВОЗМОЖНОСТИ КОЛЕБАНИЙ СРЕДНИХ КОНЦЕНТРАЦИЙ ДЕФЕКТОВ ПРИ ОБЛУЧЕНИИ

М. Милитцер, Ю.В. Трушин

Кинетика генерации точечных дефектов и формирование кластеров при облучении подробно исследуются в последние годы. Системой баланса для средних концентраций  $C_j$  точечных дефектов  $j$  ( $j = i$  - межузельные атомы,  $j = \sigma$  - вакансии,  $j = a$  - примесные атомы) и мелких кластеров ( $j = 2i$ ,  $ai$  и т.д.) является следующая система обыкновенных нелинейных уравнений

$$\dot{C}_j = g_j + \sum_{k=1}^N \rho_{jk} C_k + \sum_{k>l}^N r_{jkl} C_k C_l \quad (j=1, \dots, N). \quad (1)$$